

Рис. 5.1. Передающие антенны Д—2 × 11 м и V-образная на составной мачте 12 м

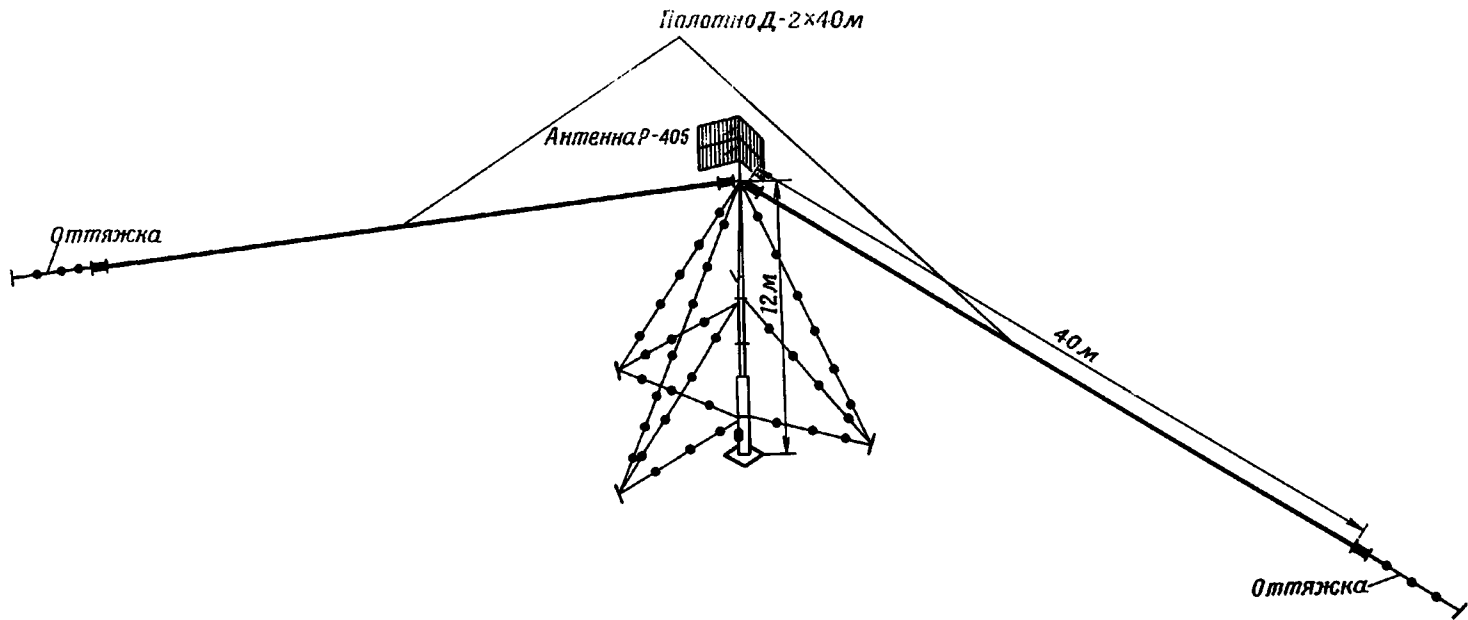


Рис. 5.2. Передающая антенна Д — 2 × 40 м и антенна Р-405ПТ-1 на телескопической мачте 12 м

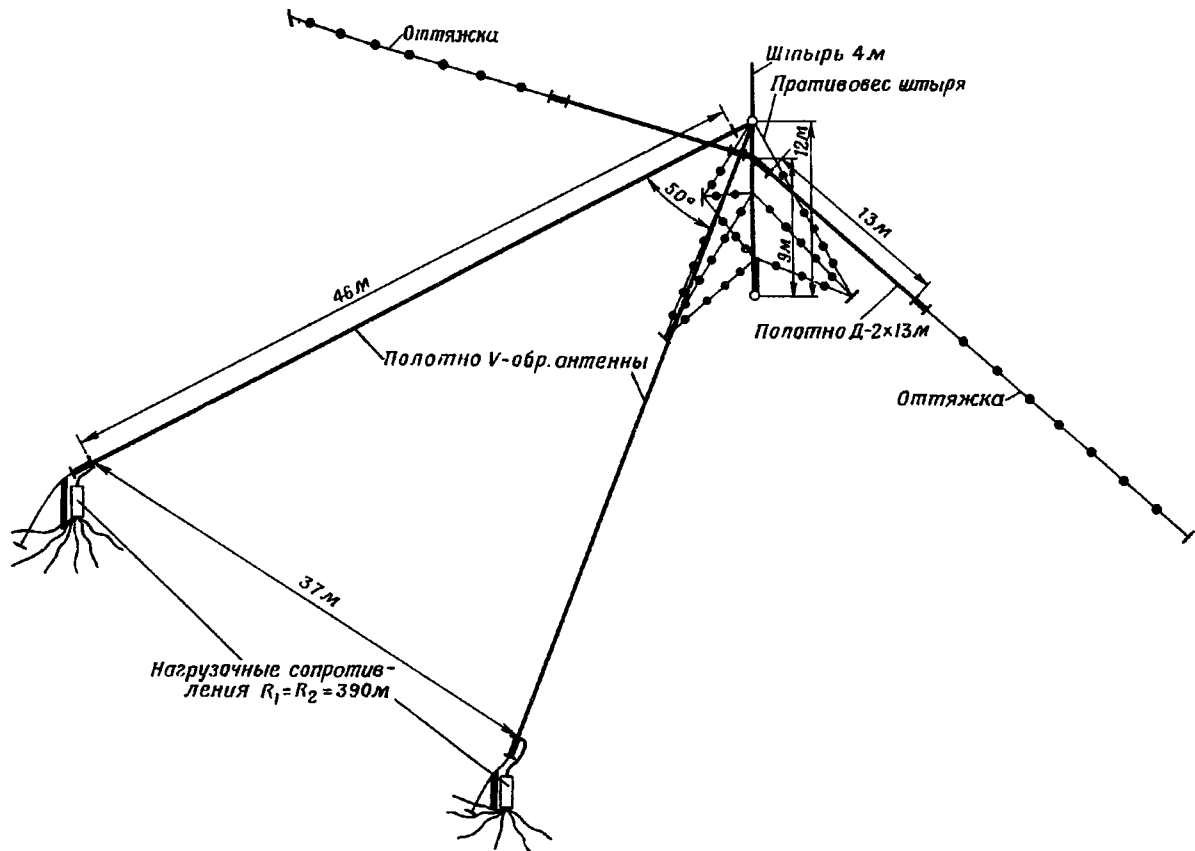


Рис. 5.3. Приемные антенны Д—2×13 м, V-образная и штыревая на составной мачте 12 м

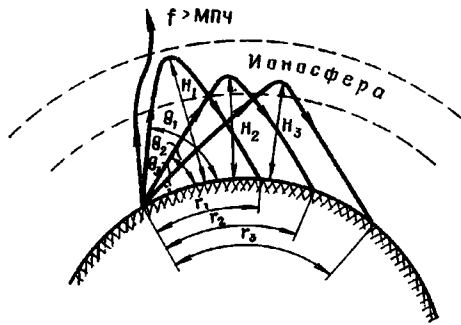


Рис. 5.4. Схема распространения ионосферных волн

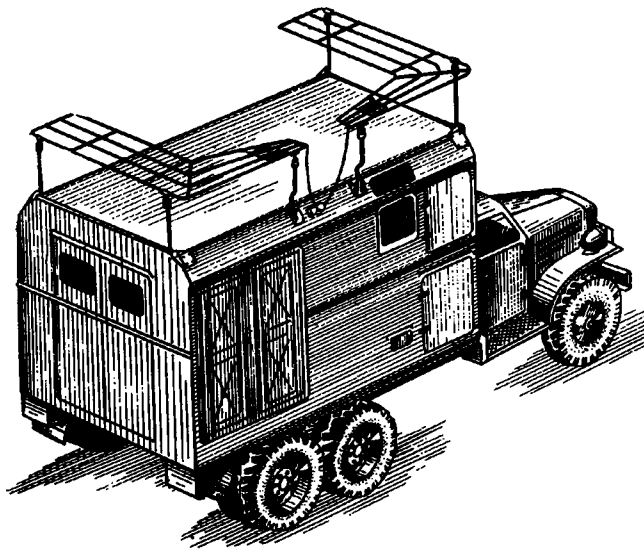


Рис. 5.5 Крышевая антенна зенитного излучения (АЗИ) для связи в движении

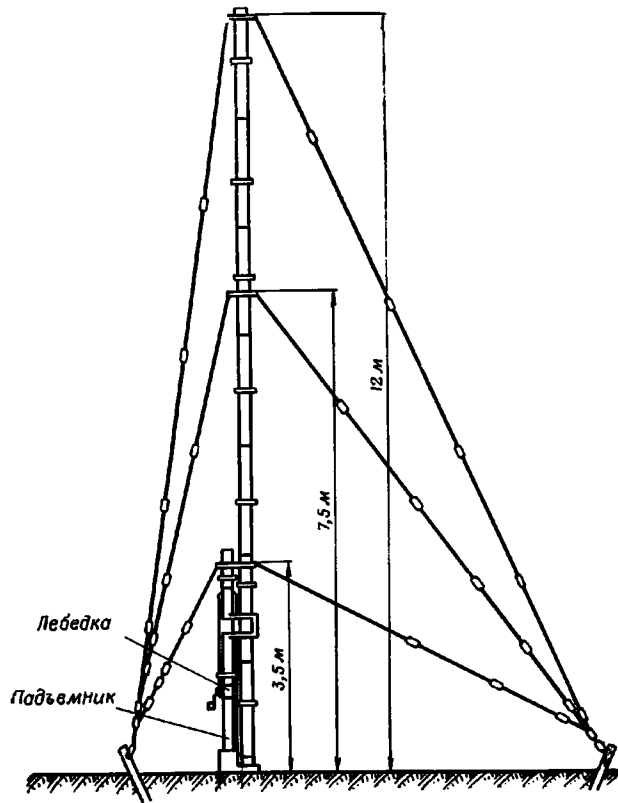


Рис. 5.6. Составная мачта 12 м

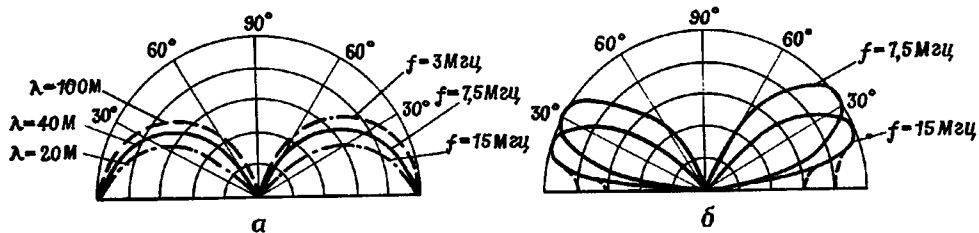


Рис. 5.7. Диаграммы направленности антенны земной волны (штырь 10 м):
 а — над идеальной землей; б — над реальной землей

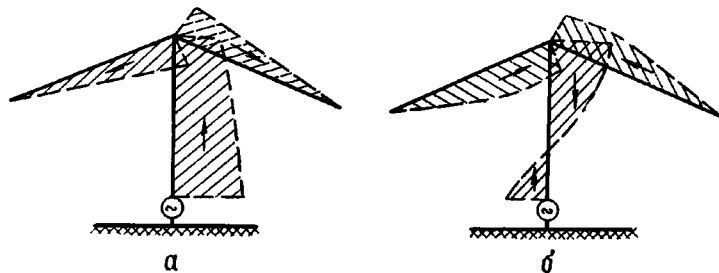


Рис. 5.8. Распределение тока в Т-образной антенне
 а — нижняя часть диапазона; б — верхняя часть диапазона

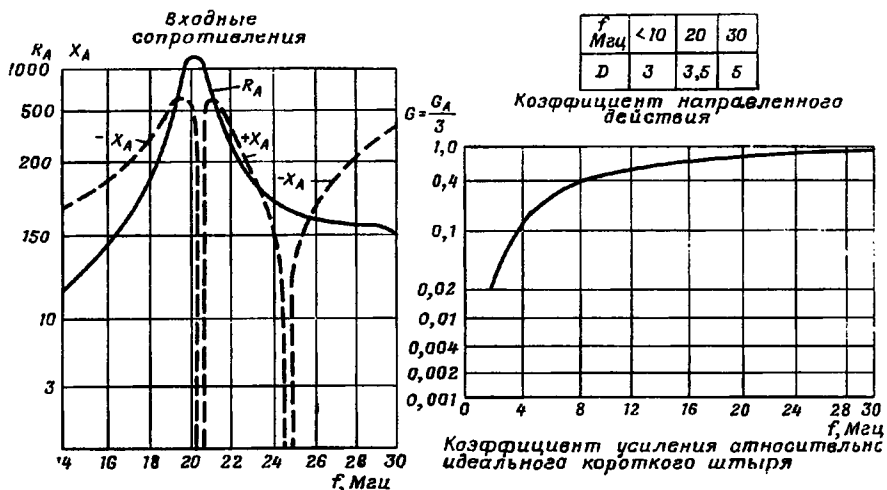
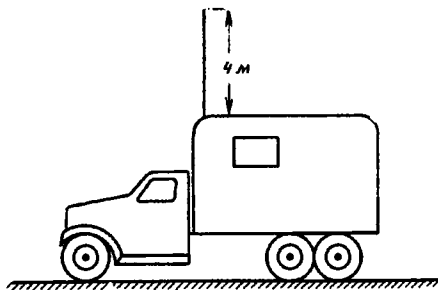


Рис. 5.9. Штыревая антенна 4 м на автомобиле и ее основные характеристики

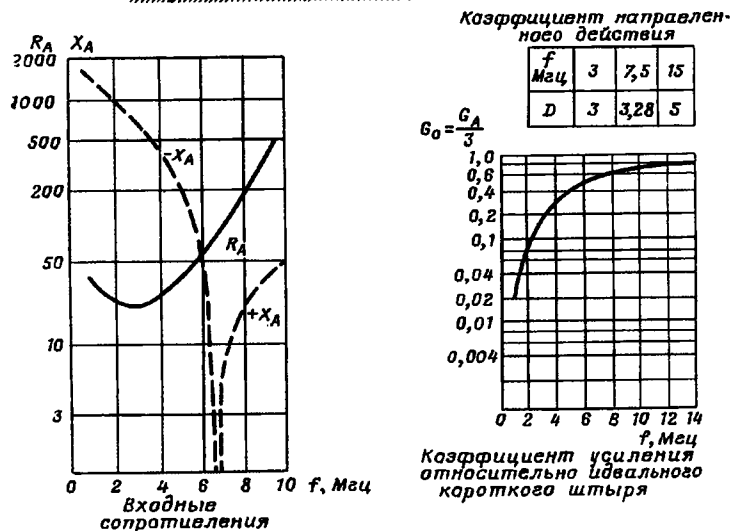
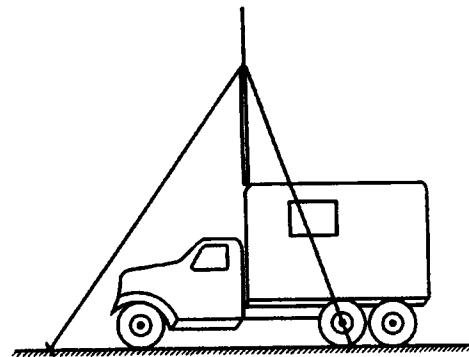


Рис. 5.10. Полутелескопическая штыревая антенна 10 м на автомобиле и ее основные характеристики

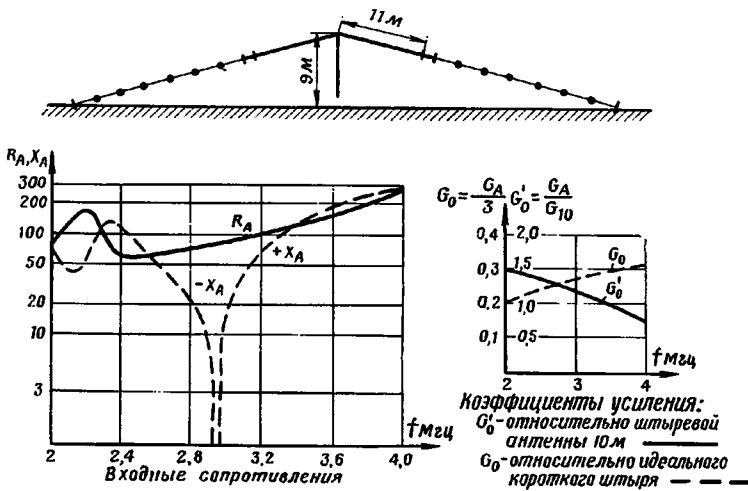


Рис. 5.11. Наклонная Т-образная антенна Т—2 × 11 м и ее основные характеристики

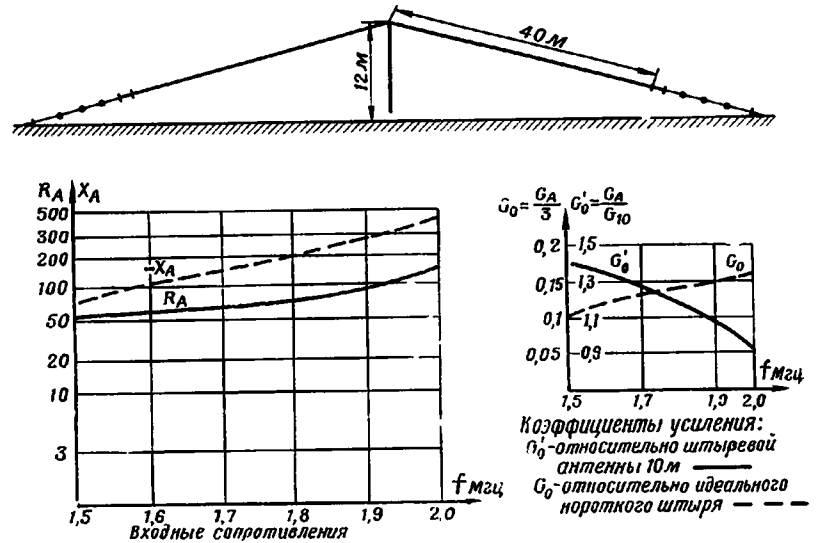


Рис. 5.12. Наклонная Т-образная антенна Т—2 × 40 м и ее основные характеристики

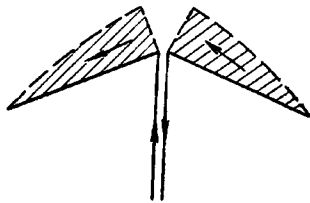


Рис. 5.13. Распределение тока в наклонном симметричном вибраторе (диполе)

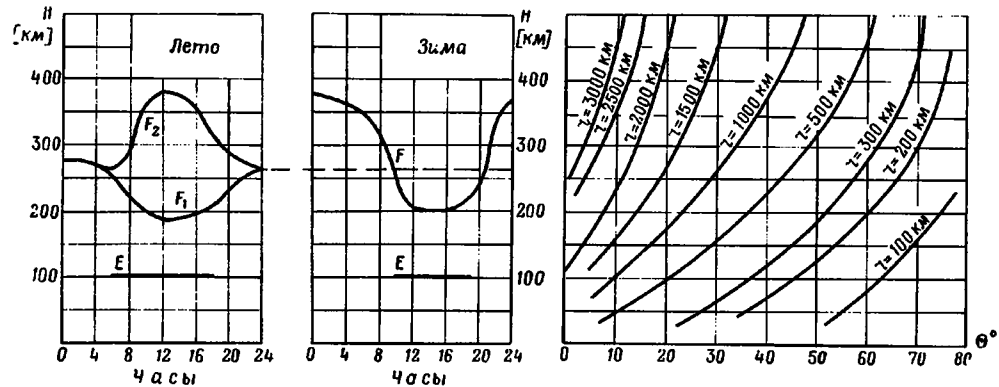


Рис. 5.14. Соотношения между высотой отражающего слоя ионосферы H , углом возвышения θ и дальностью связи r

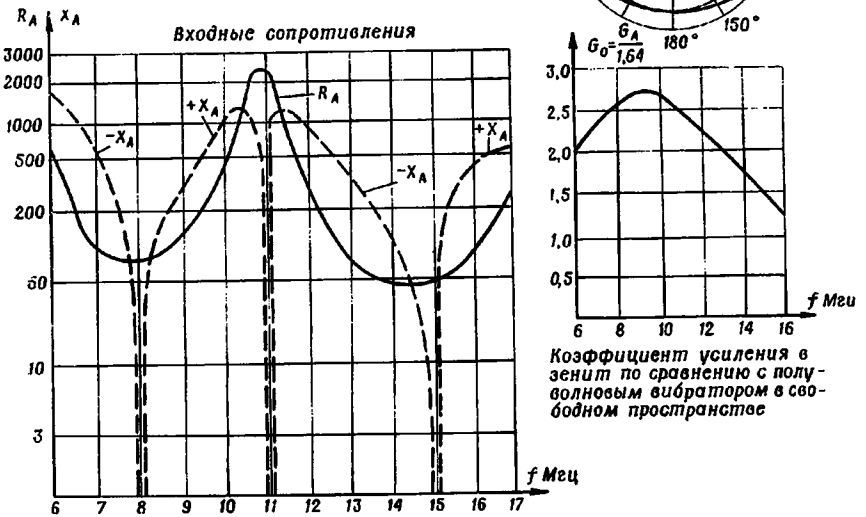
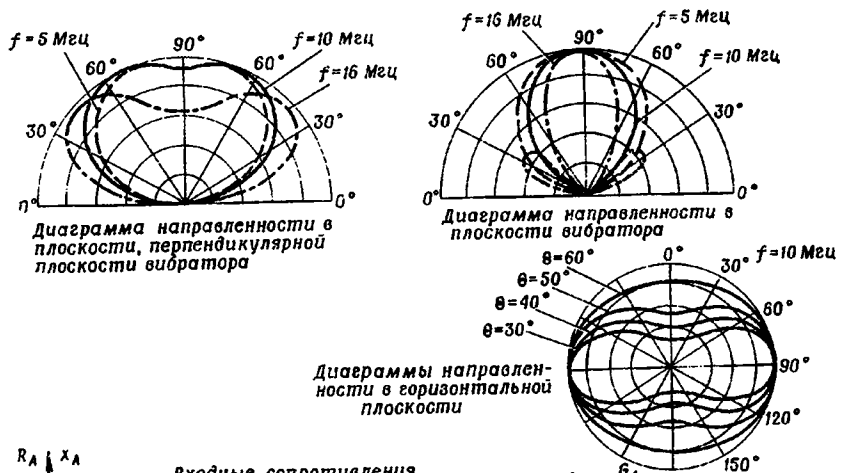
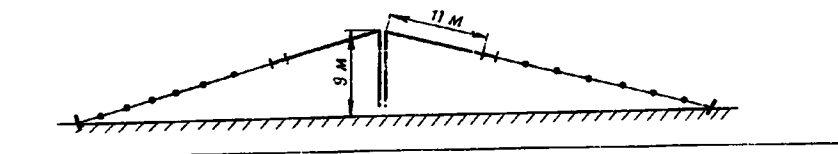


Рис. 5.15. Антенна наклонный симметричный вибратор Д — 2 × 11 м и ее основные характеристики

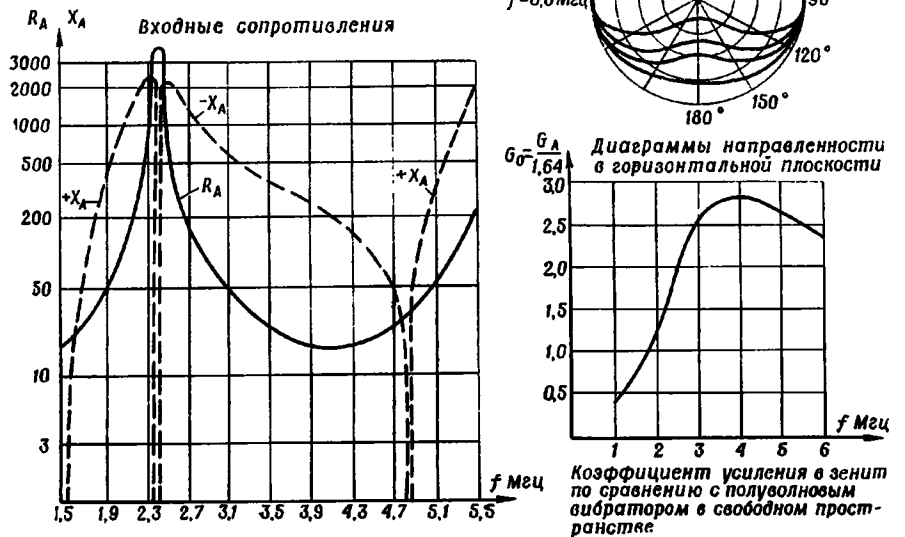
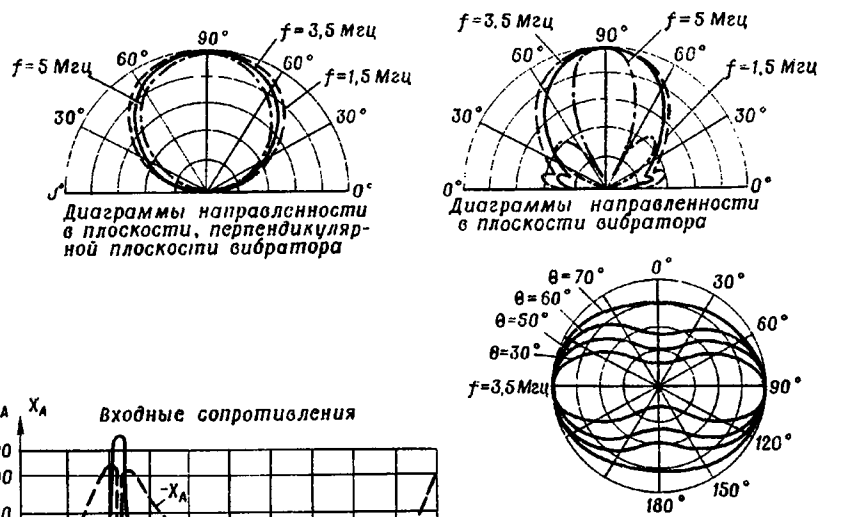
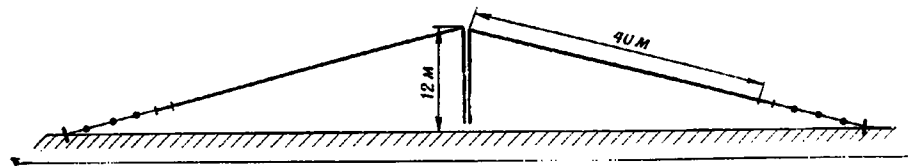
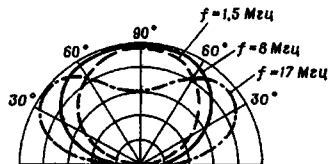
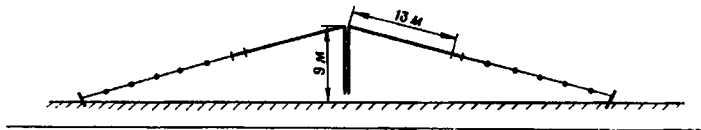
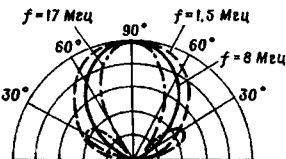


Рис. 5.16. Антенна наклонный симметричный вибратор Д — 2 × 40 м и ее основные характеристики



Диаграммы направленности в плоскости, перпендикулярной плоскости вибратора



Диаграммы направленности в плоскости вибратора

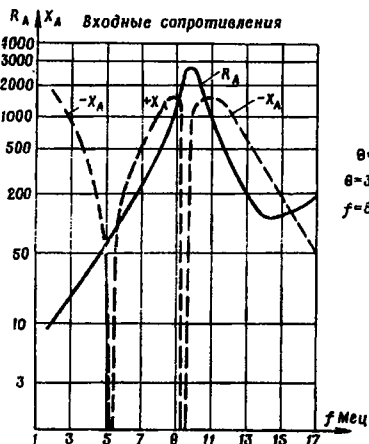
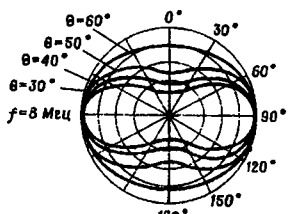
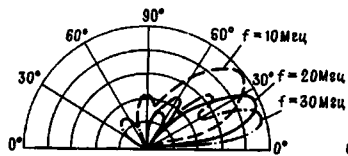
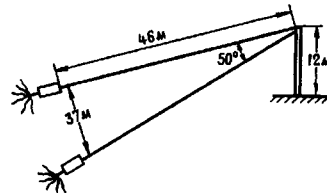


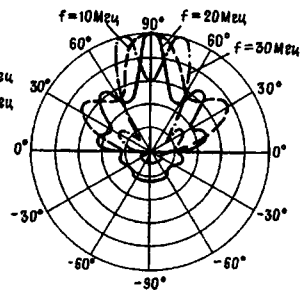
Рис. 5.17. Антенна наклонный симметричный вибратор Д — 2 × 13 м и ее основные характеристики



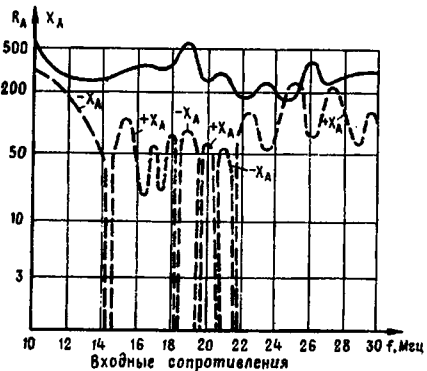
Диаграммы направленности в горизонтальной плоскости



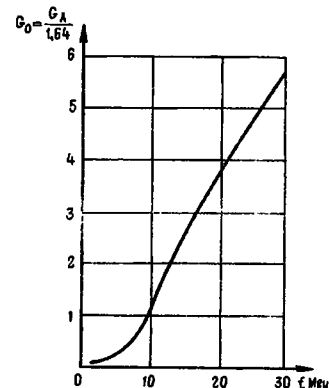
Диаграммы направленности в вертикальной плоскости, проходящей через биссектрису лучей антенны



Диаграммы направленности в горизонтальной плоскости под углом возвышения $\theta = 10^\circ$



Входные сопротивления



Коэффициент усиления в максимуме диаграммы по сравнению с полуволновым вибратором в свободном пространстве

Рис. 5.18. Наклонная V-образная антенна бегущей волны и ее основные характеристики

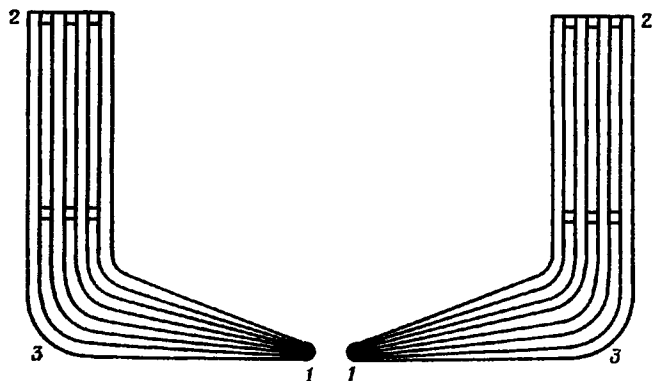


Рис. 5.19. Крышевая антенна зенитного излучения (АЗИ)

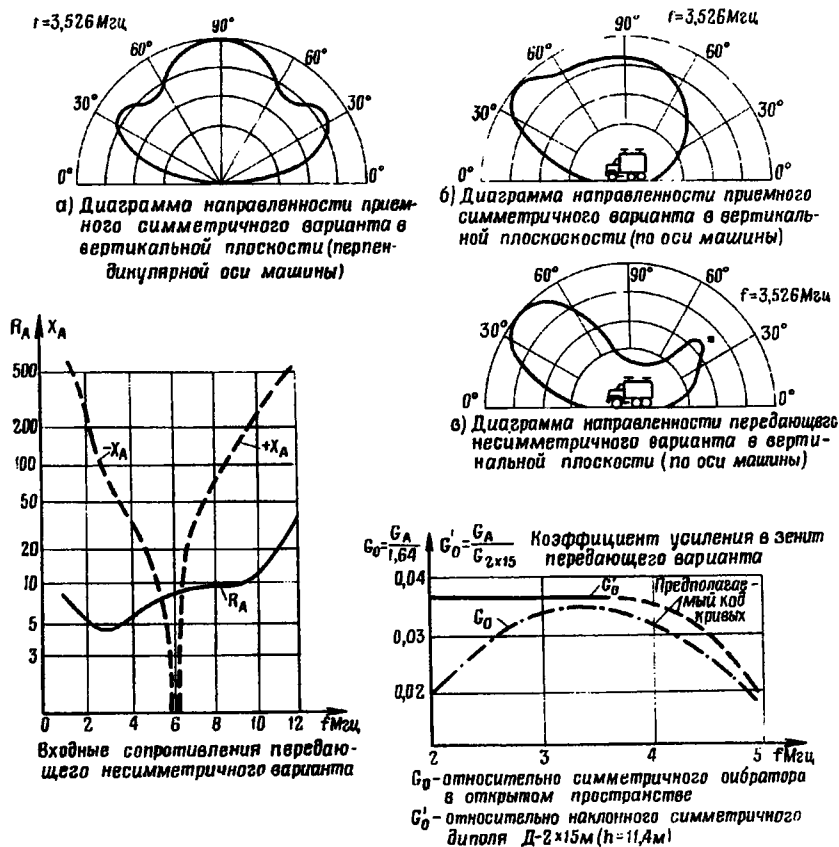
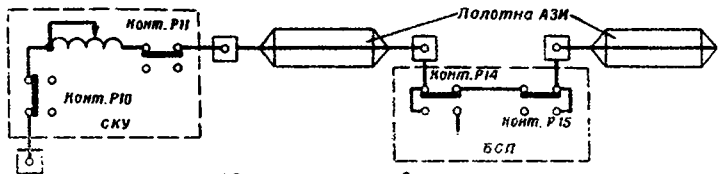
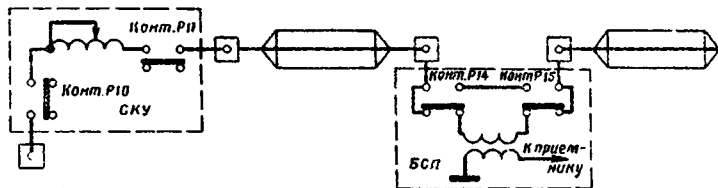


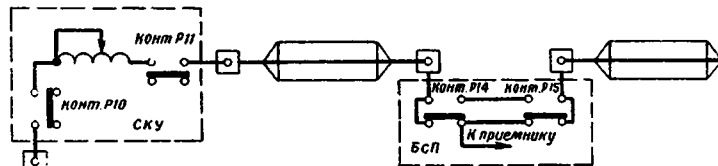
Рис. 5.20. Крышевая антенна зенитного излучения для связи в движении и ее основные характеристики



а) включение на передачу



б) включение на прием-работа ионосферной волны (симметричный вариант)



в) включение на прием-работа земной волны (несимметричный вариант)

Рис. 5.21. Схемы включения АЗИ при различных режимах работы

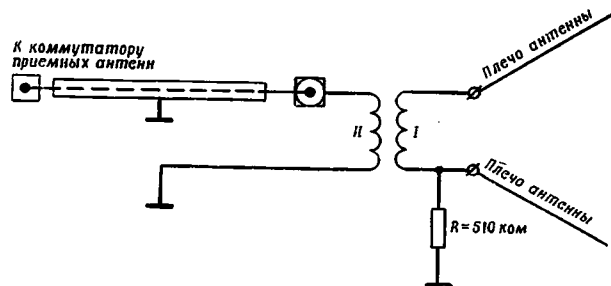


Рис. 5.22. Схема подключения приемных антенн V-образной и Д = 2 × 13 м к симметрирующему трансформатору

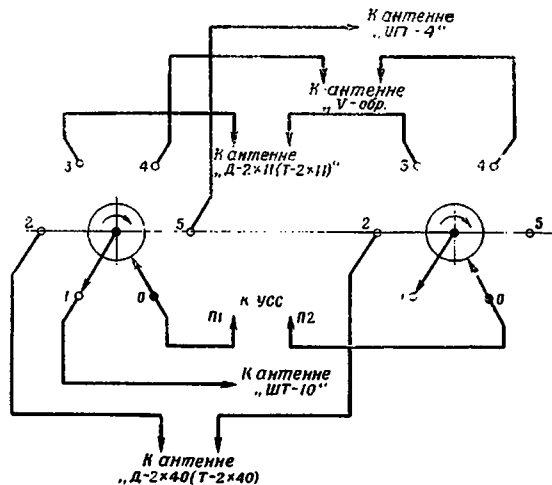


Рис. 5.23. Схема коммутатора передающих антенн

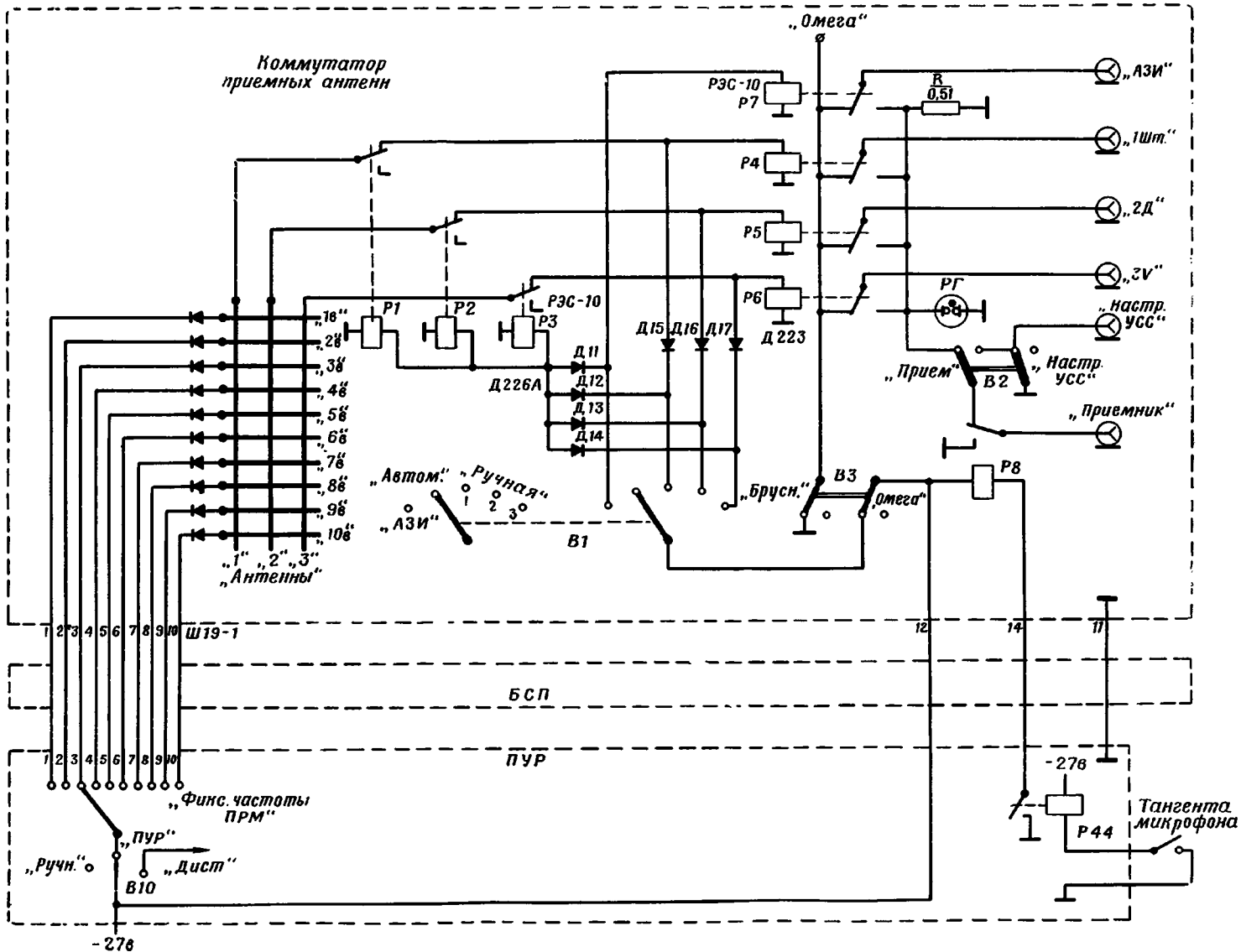


Рис. 5.24. Принципиальная схема коммутации приемных антенн

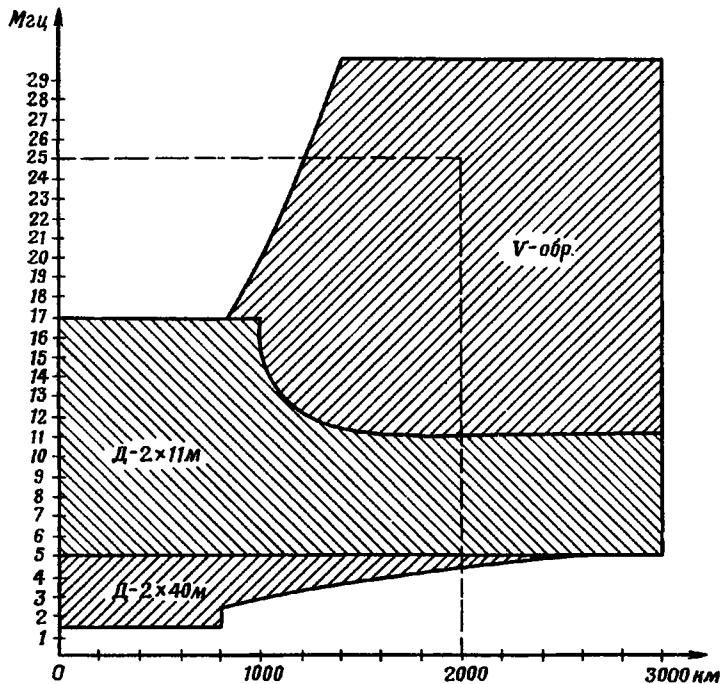


Рис. 5.26. Карта для выбора антенны

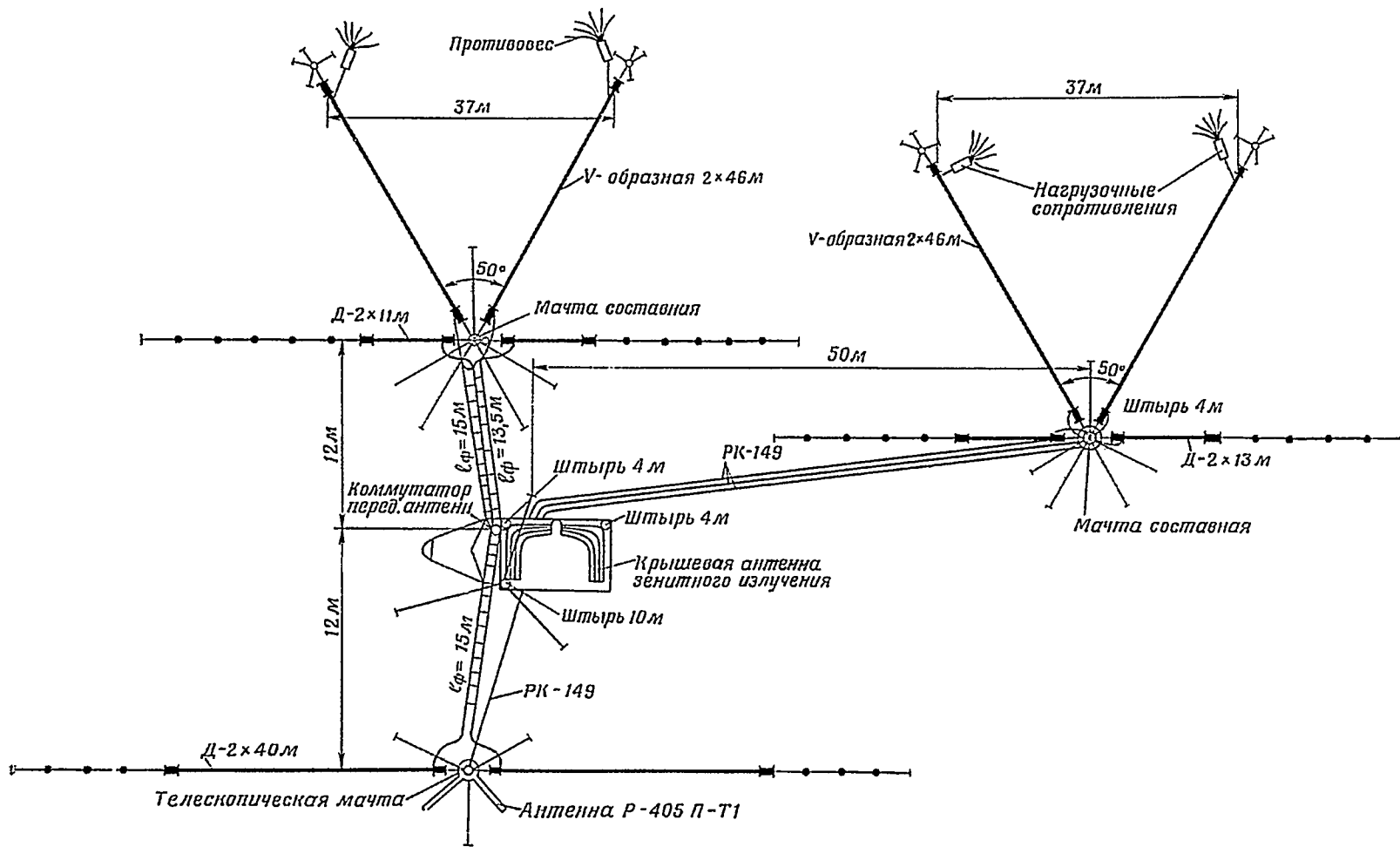


Рис. 5.27. Схема антенного поля